

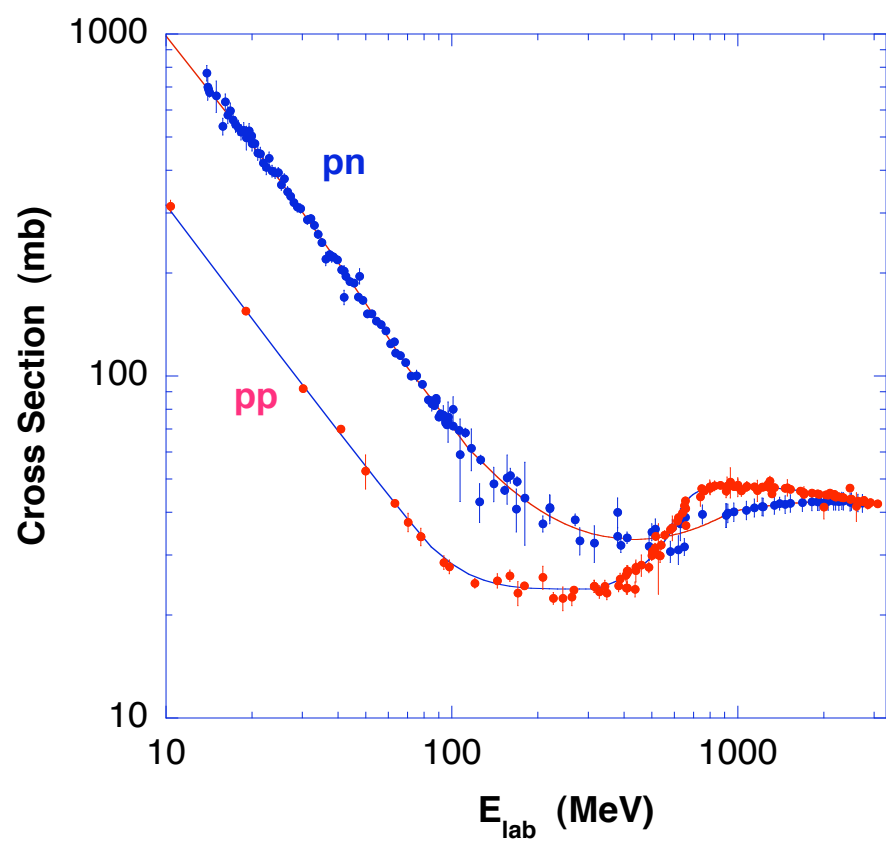
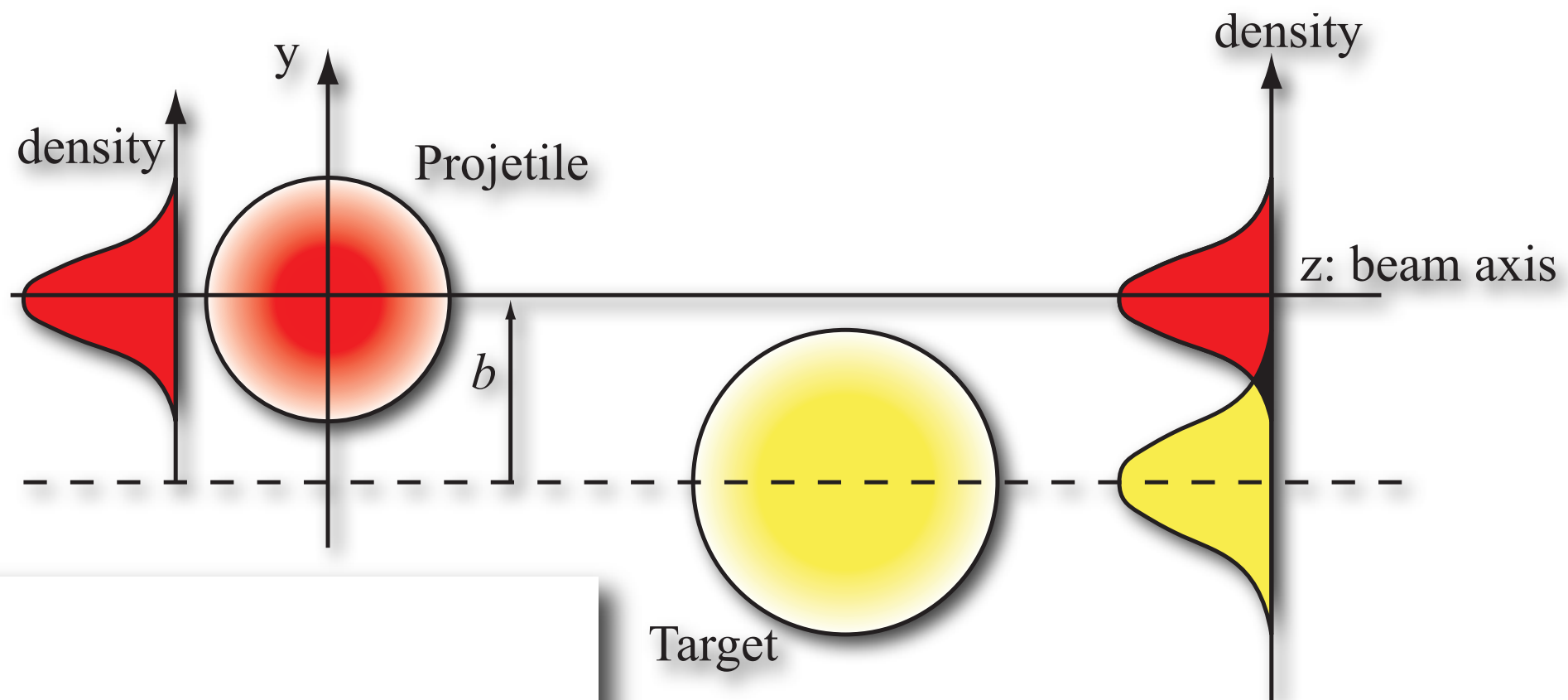
# 中間エネルギーにおける反応断面積 と核子密度分布

阪大理 福田光順

# 内容

- 反応断面積と核子密度分布
- 問題点
- 安定核の反応断面積  
@中間エネルギー
- 応用





反応断面積

↕

Glauber計算  
(optical limit)

↕

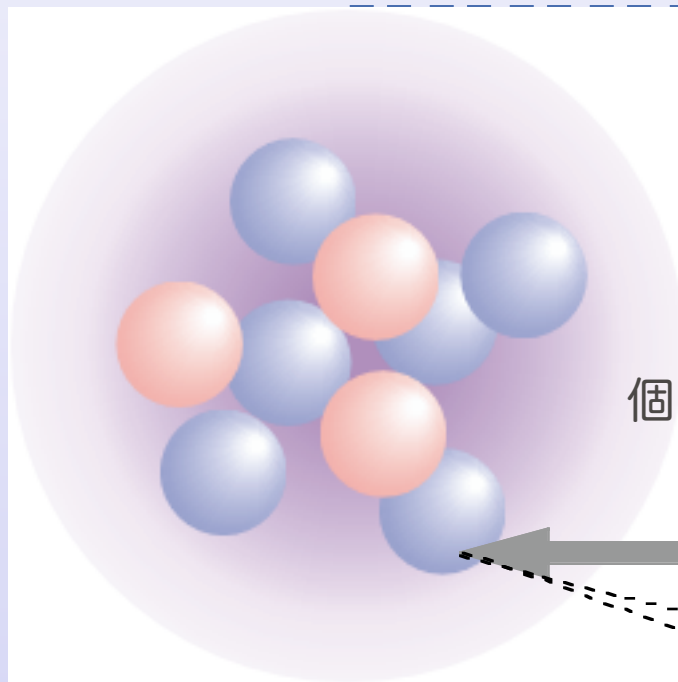
核子密度分布

# Glauber calculation

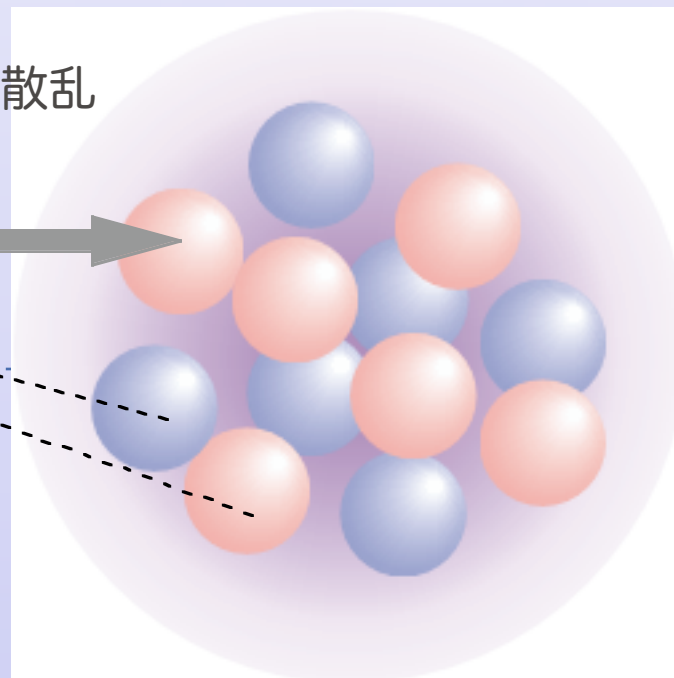
Nuclear Collision  $\longrightarrow$  sum of individual nucleon-nucleon scatterings

$$\sigma_R = \int db \left[ 1 - \exp \left( - \int d^2r \sum_{i,j} \sigma_{ij}(E) \rho_z^{P_i}(\mathbf{r}) \rho_z^{T_j}(\mathbf{r} - \mathbf{b}) \right) \right] C(E)$$

Projectile



Target



個々の核子-核子散乱

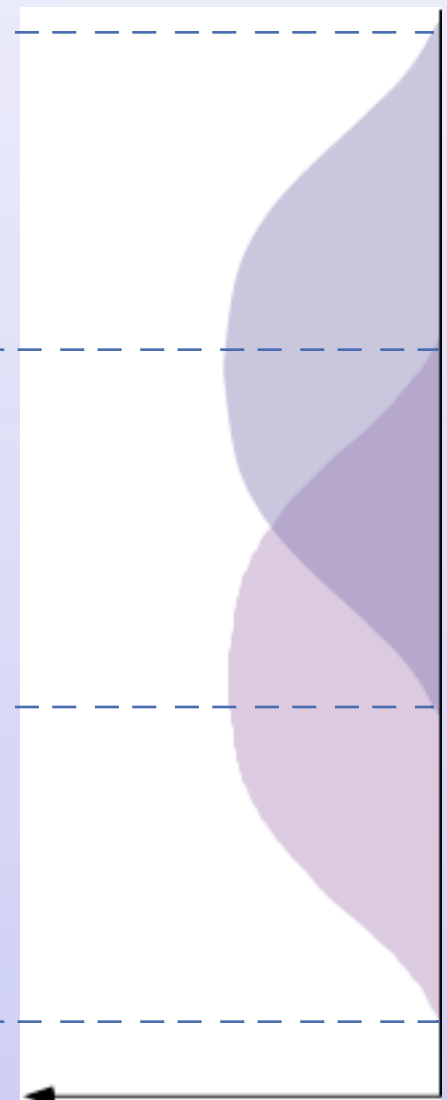
$\sigma_{NN}$



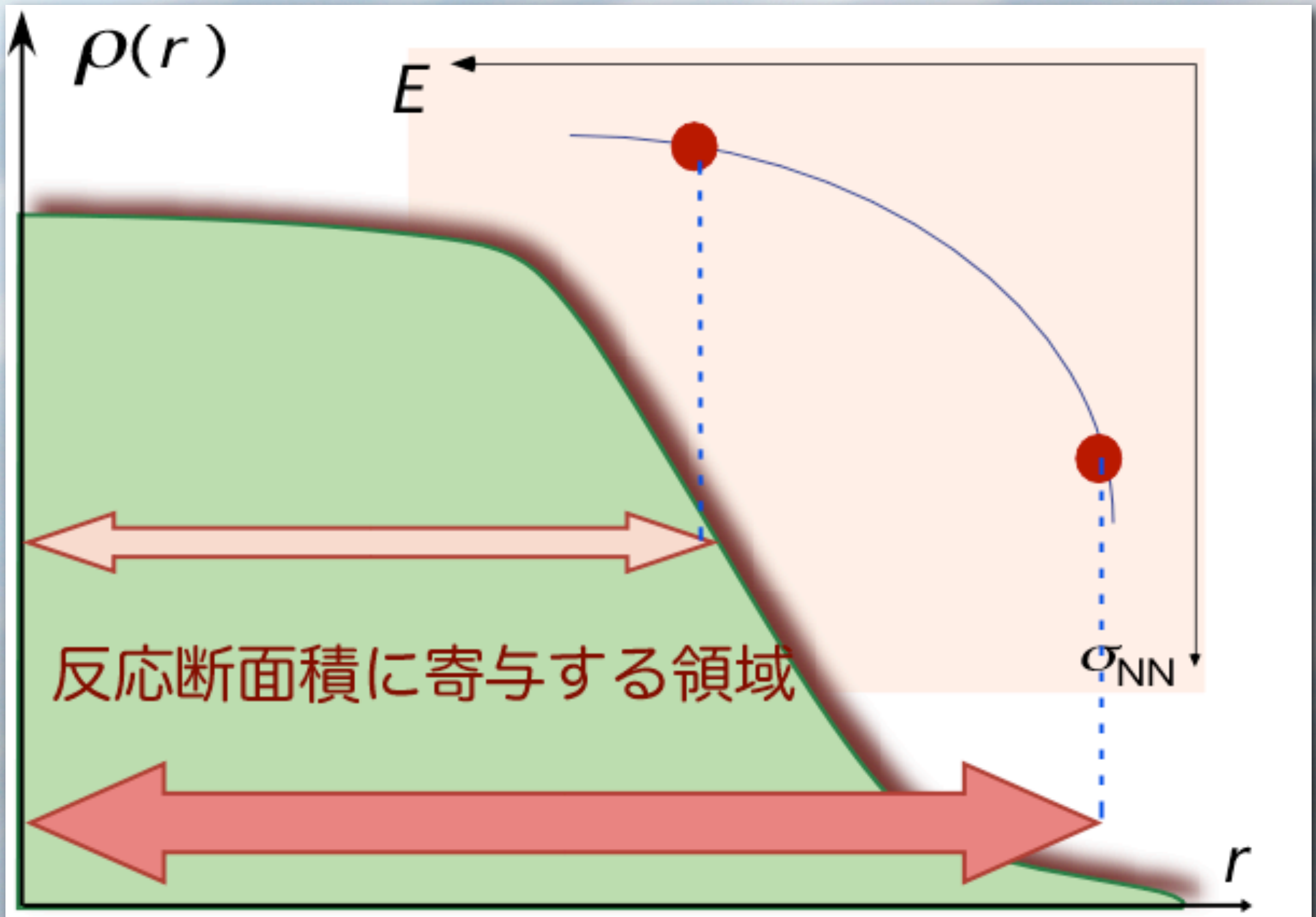
$\sigma_R$   
 $\rho(r)$

Glauber calc.  
(optical limit)

核子密度分布  $\rho(r)$

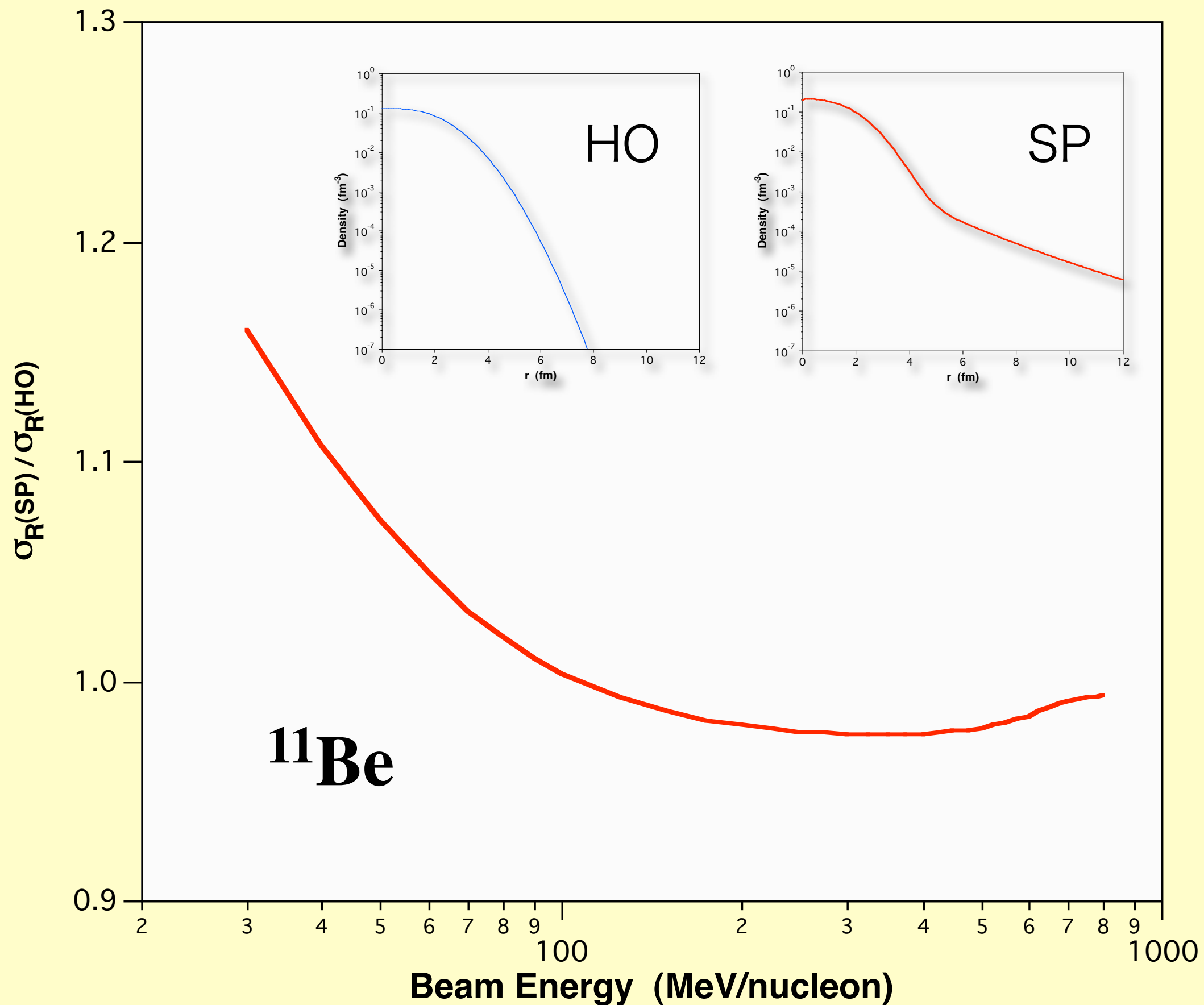


# 反応断面積のエネルギー依存性と核子密度分布

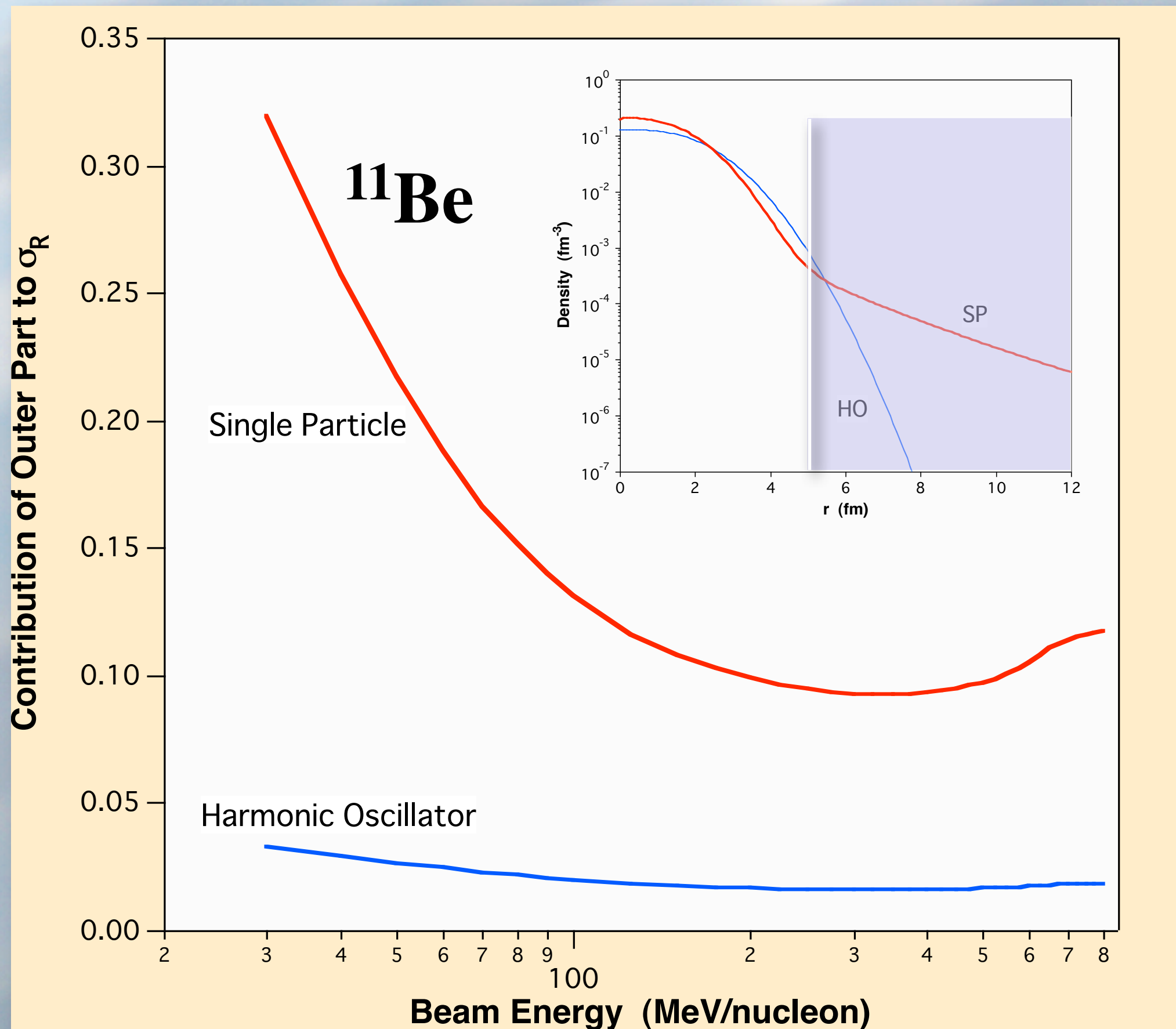




# Energy Dependence of $\sigma_R$



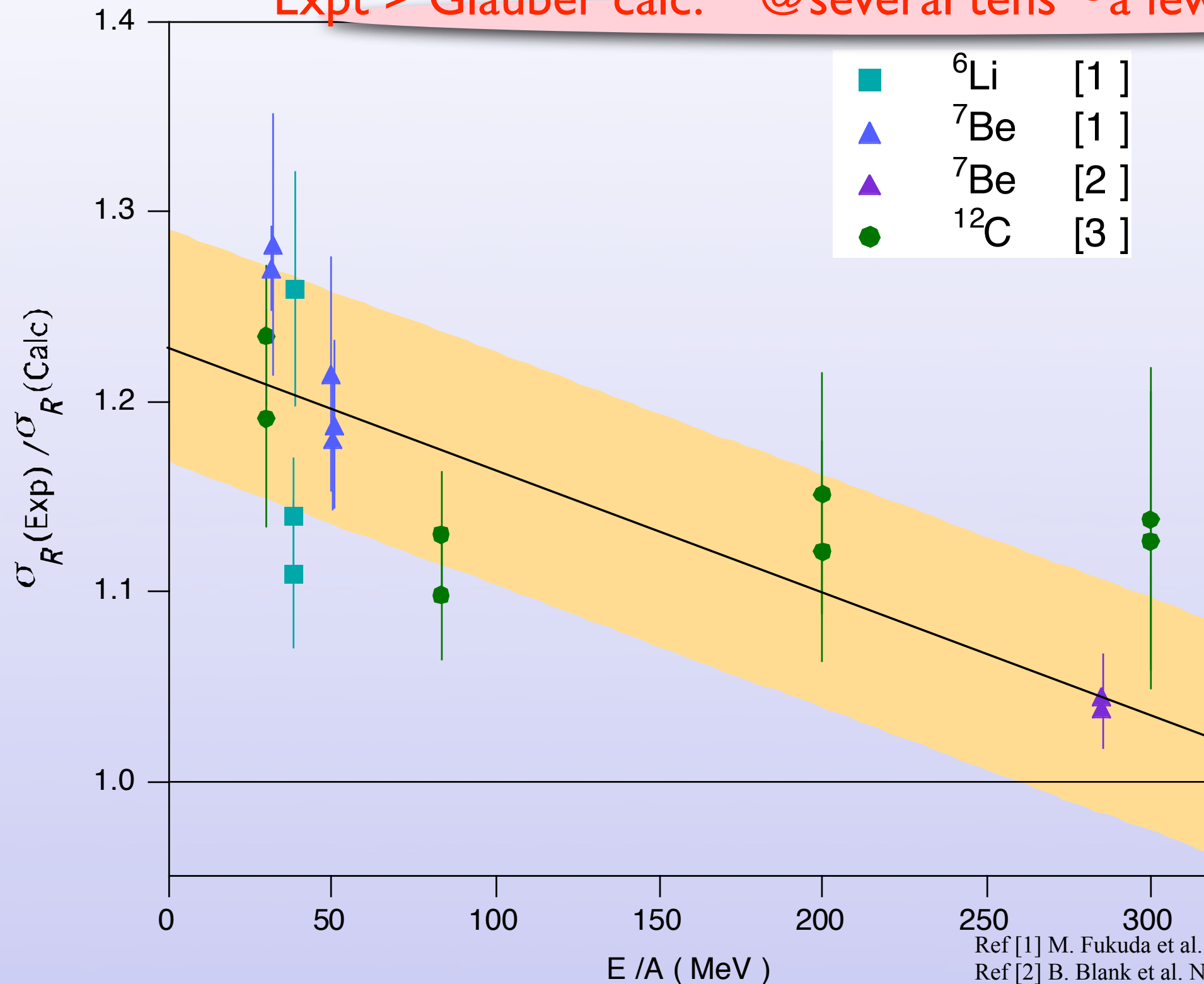
# Sensitivity to Halo



# Problem at Intermediate Energies

Expt  $\approx$  Glauber calc. @  $\sim 1$  GeV

Expt  $>$  Glauber calc. @ several tens  $\sim$  a few hundred MeV



Ref [1] M. Fukuda et al. Nucl. Phys. **A659** (1999) 209

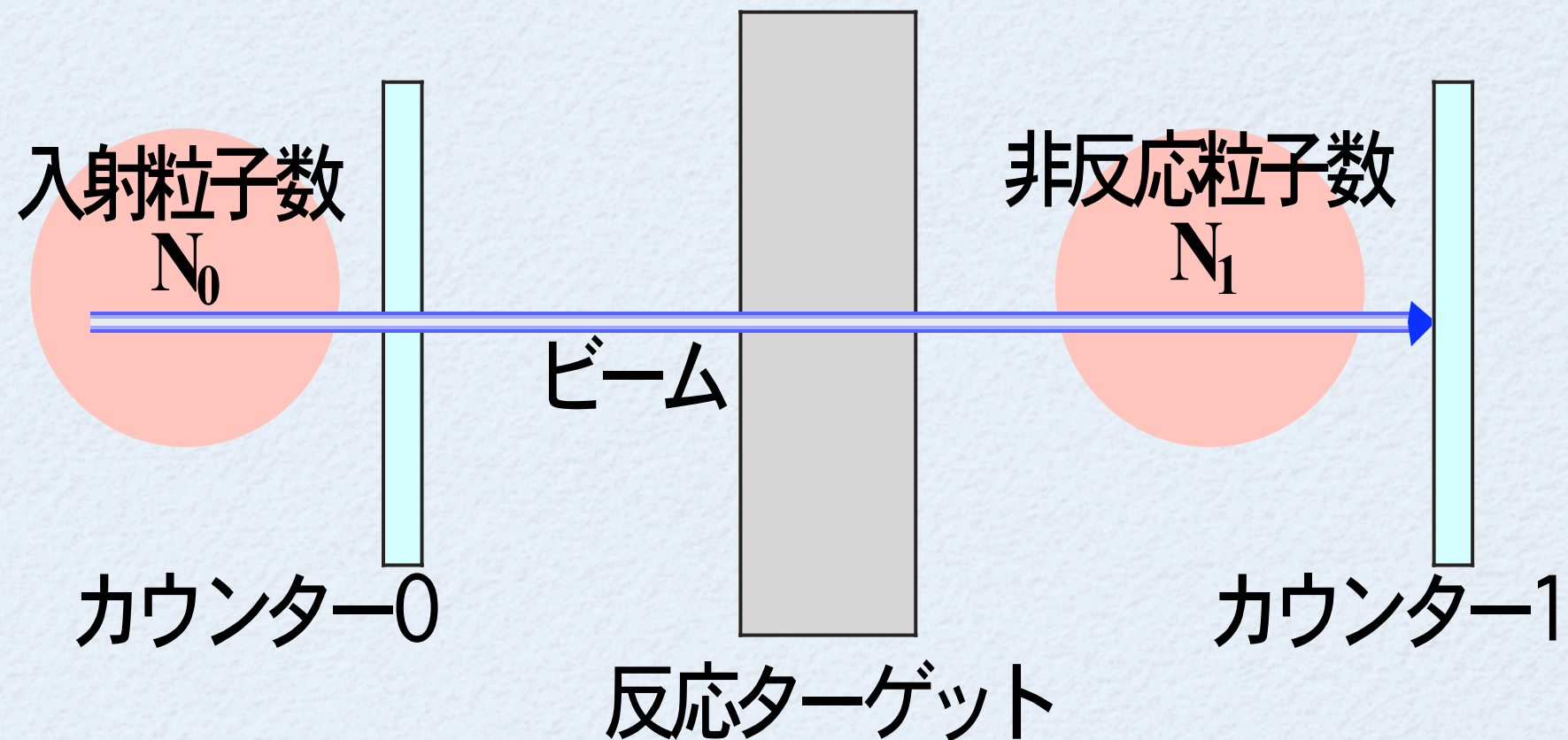
Ref [2] B. Blank et al. Nucl. Phys. **A624** (1997) 242

Ref [1] S. Kox et al. Phys. Rev. **C35** (1987) 1678



# 反応断面積の測定

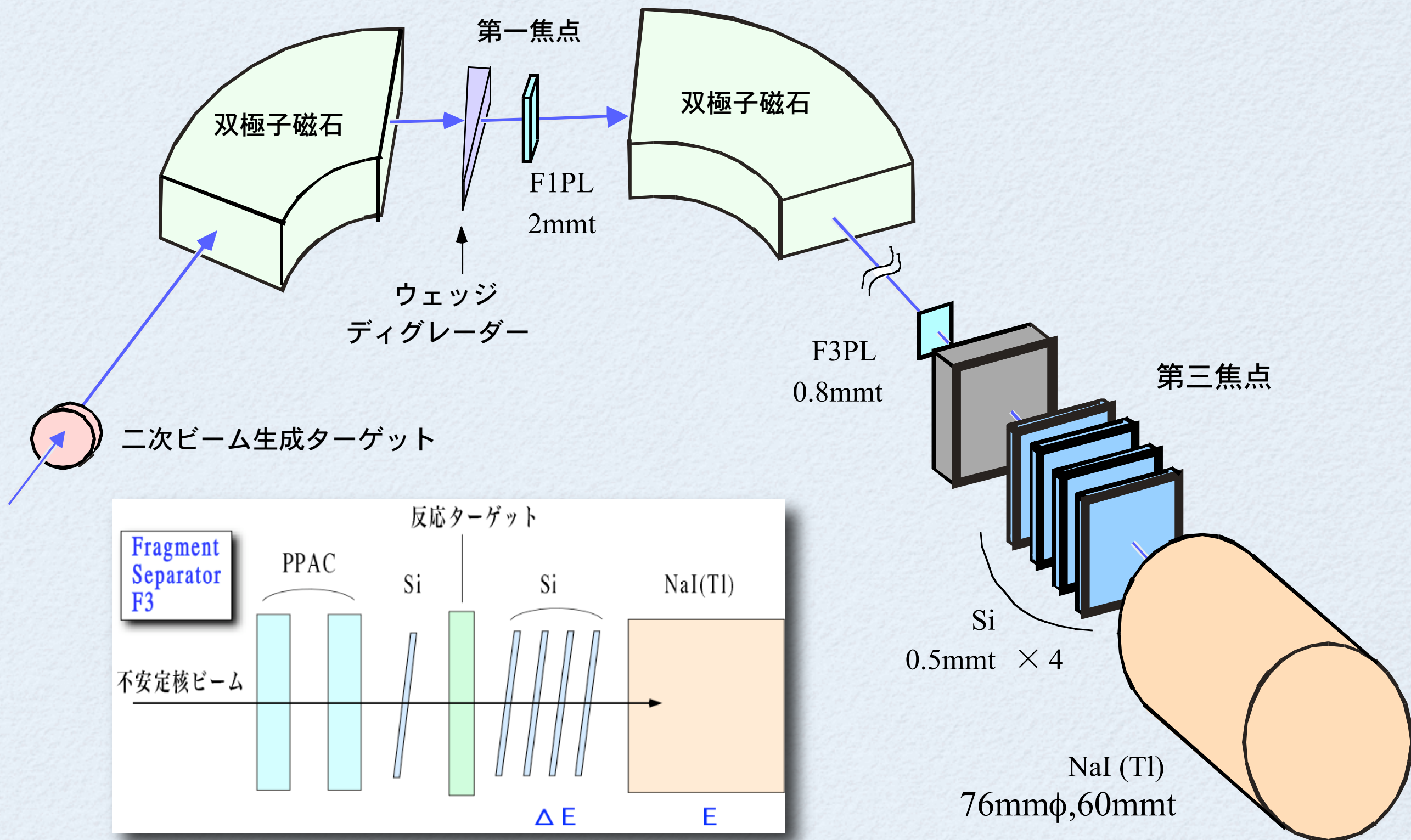
透過法 (transmission or beam attenuation method)



$$\sigma_R = -\frac{1}{t} \ln \left( \frac{N_1}{N_0} \right) \quad t : \text{反応ターゲットの厚さ}$$



# 実験セットアップの例 (HIMAC)





# 安定核( $^{12}\text{C}$ )の反応断面積

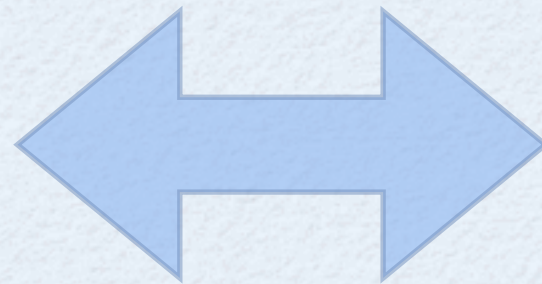
$\rho_P, \rho_T$  がよくわかっているもの(安定核)

入射核

標的核

$^9\text{Be}$

$^{12}\text{C}$

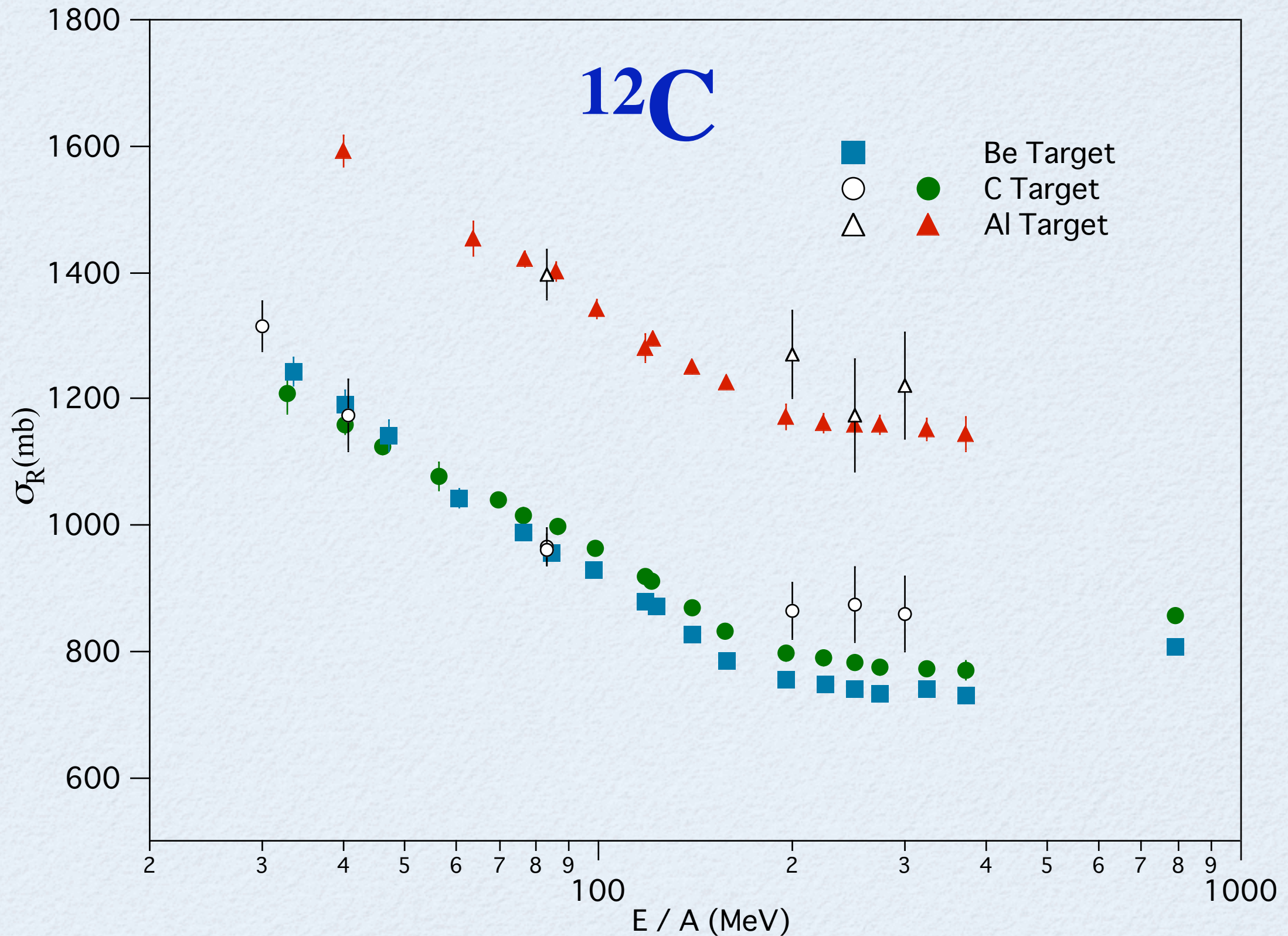


$^{12}\text{C}$

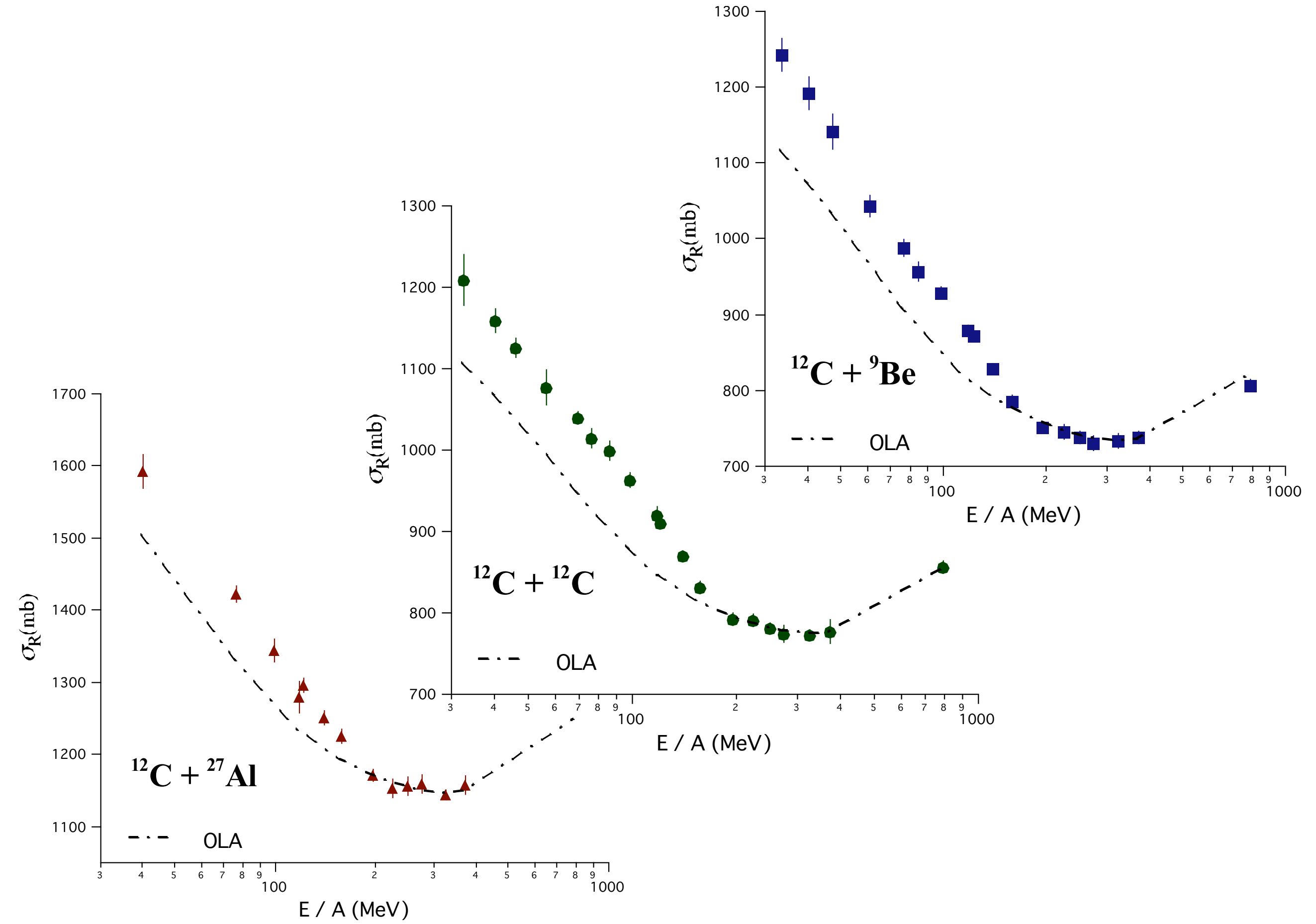
$^{27}\text{Al}$



# 安定核の反応断面積

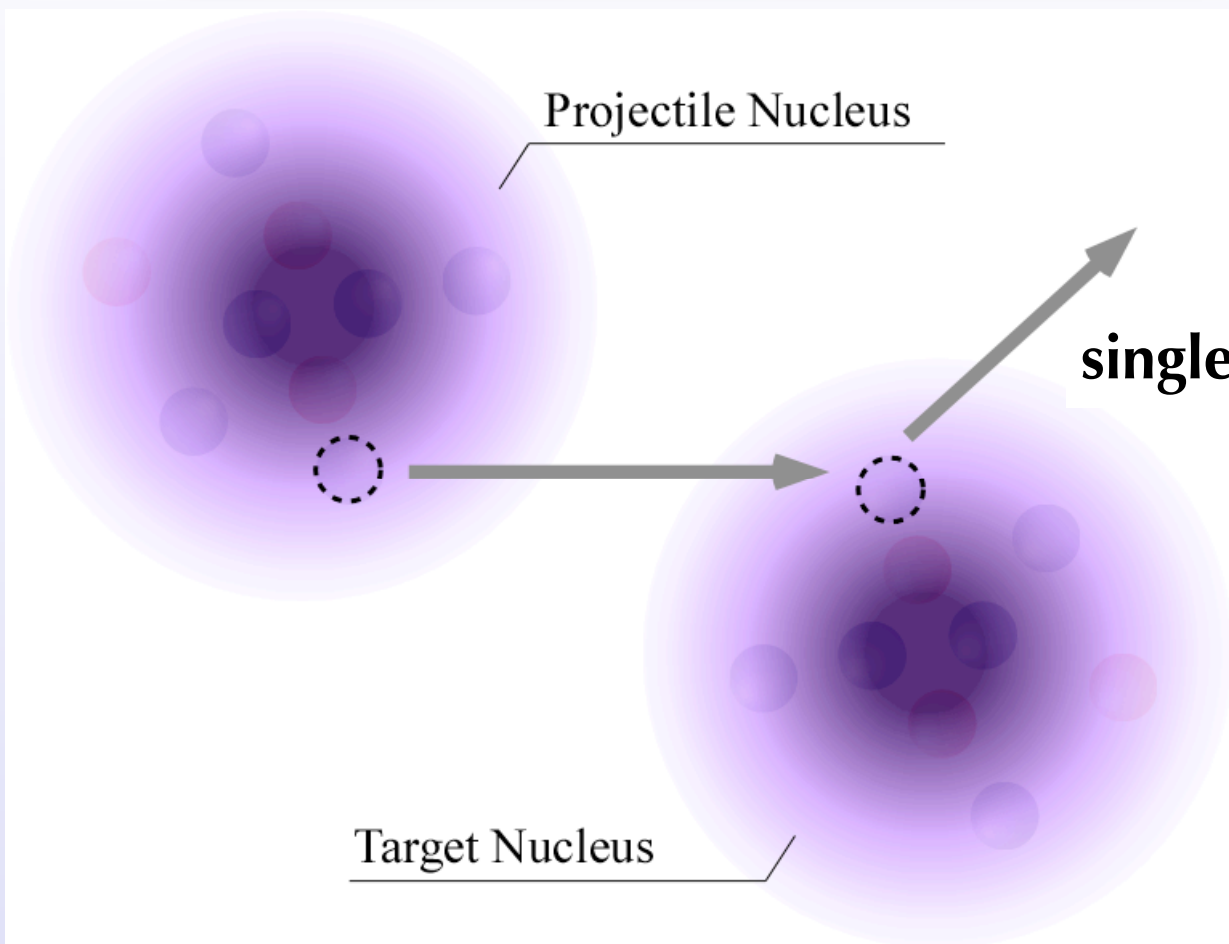


# Comparison with Glauber calc.





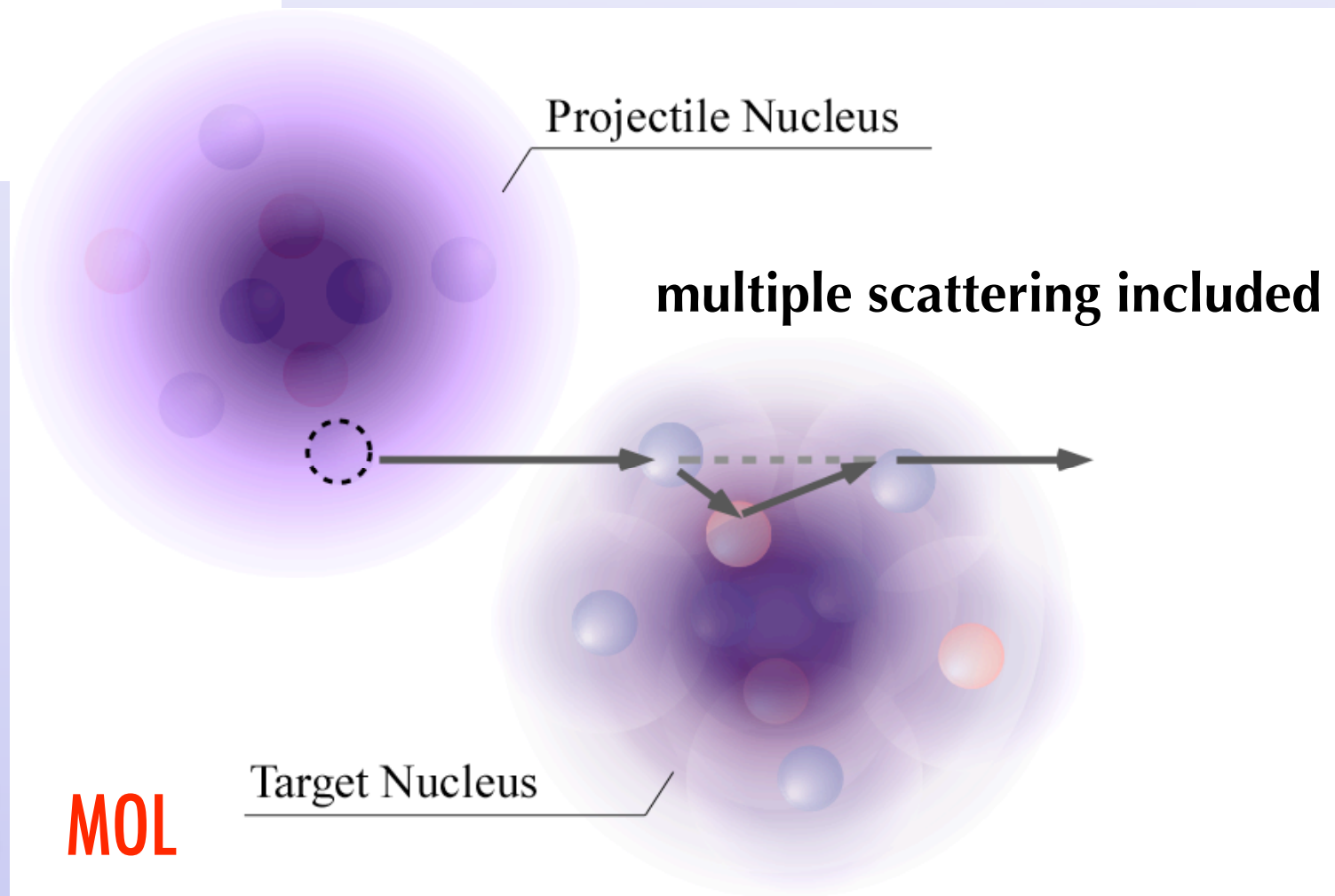
# Multiple Scattering (Few-Body) Effect



**OLA**

**Optical Limit**

$$\sigma_R(\text{OL}) > \sigma_R(\text{MS})$$



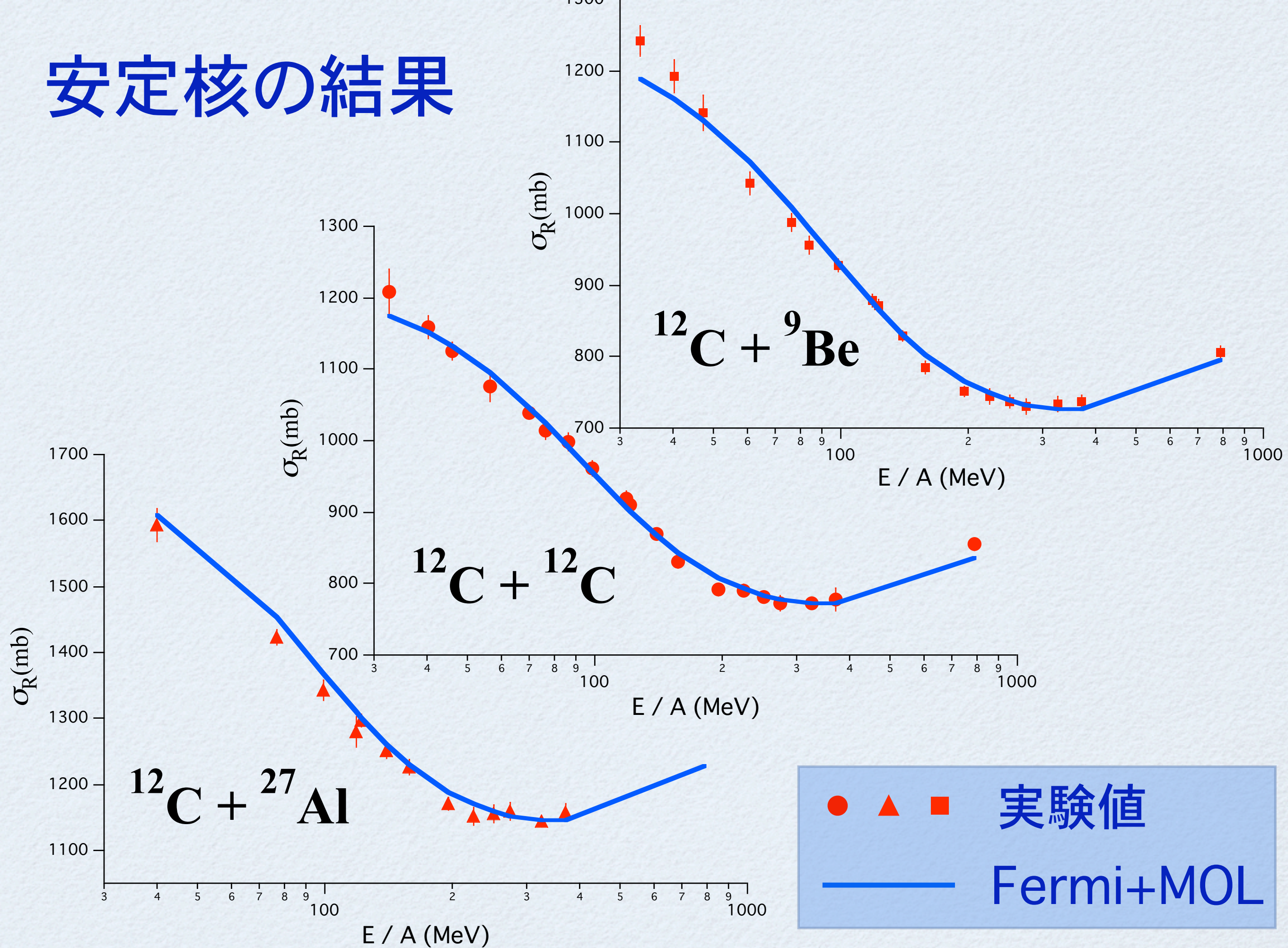
**MOL**

by Y. Suzuki et al.

Multiple Scattering



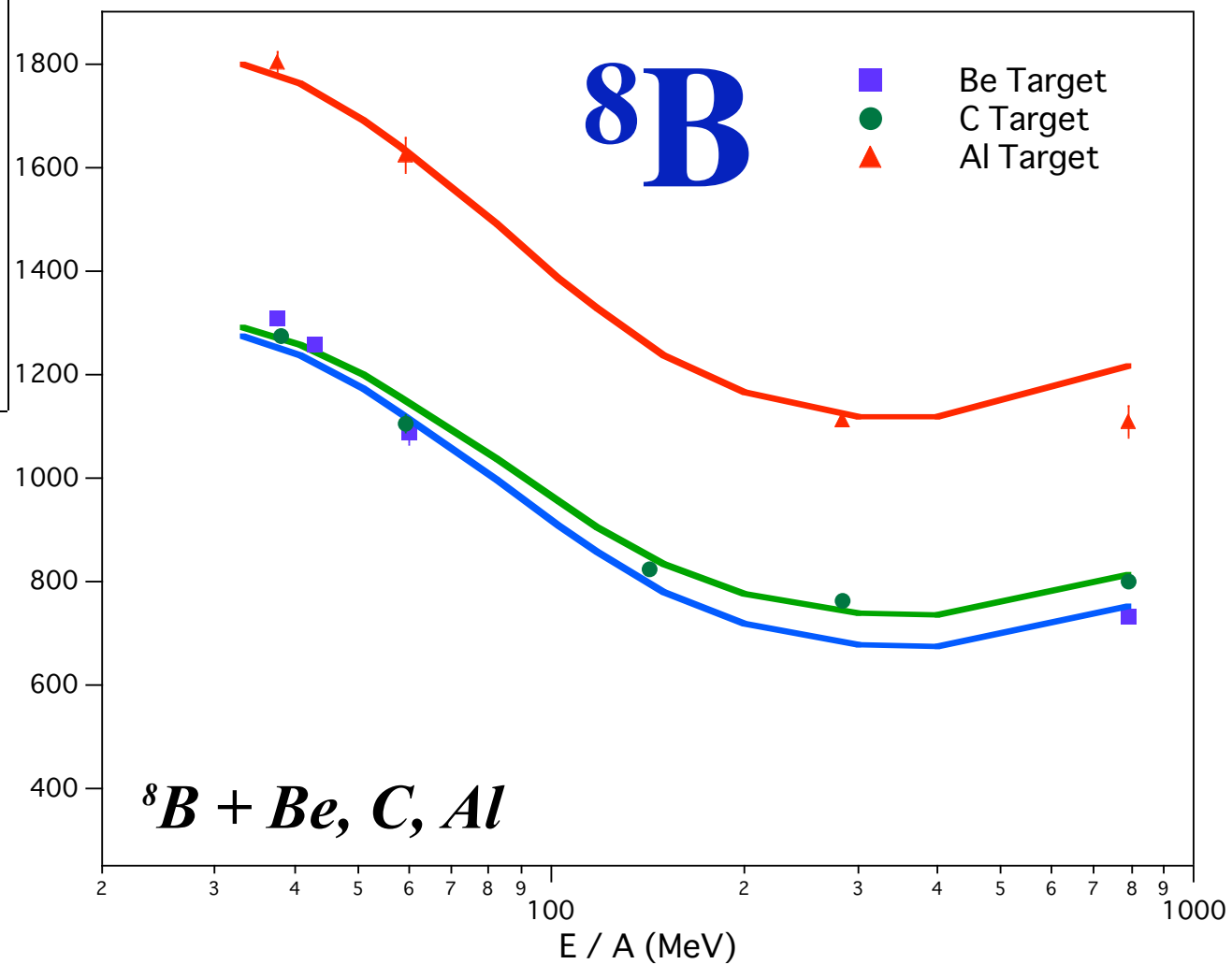
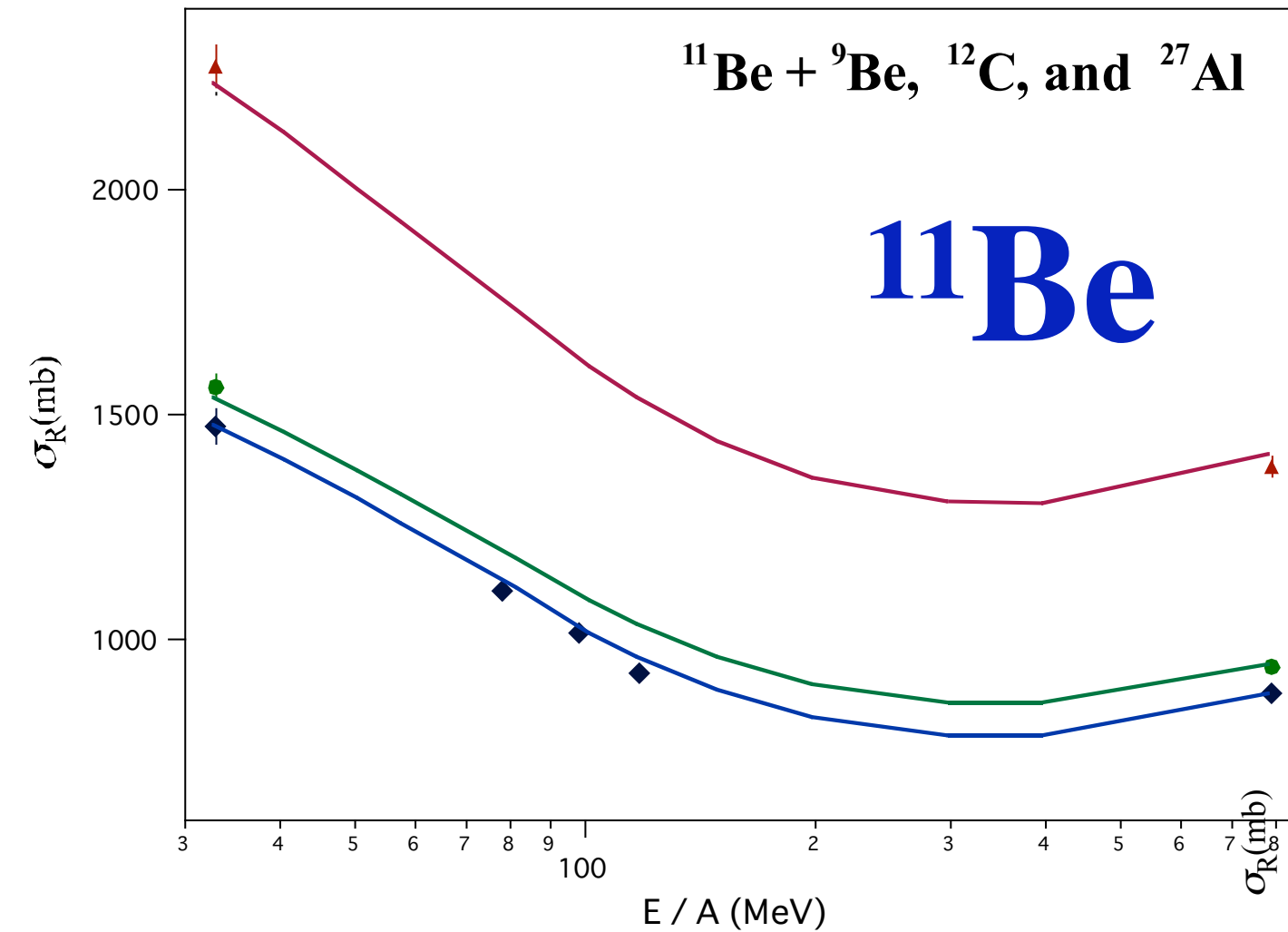
# 安定核の結果





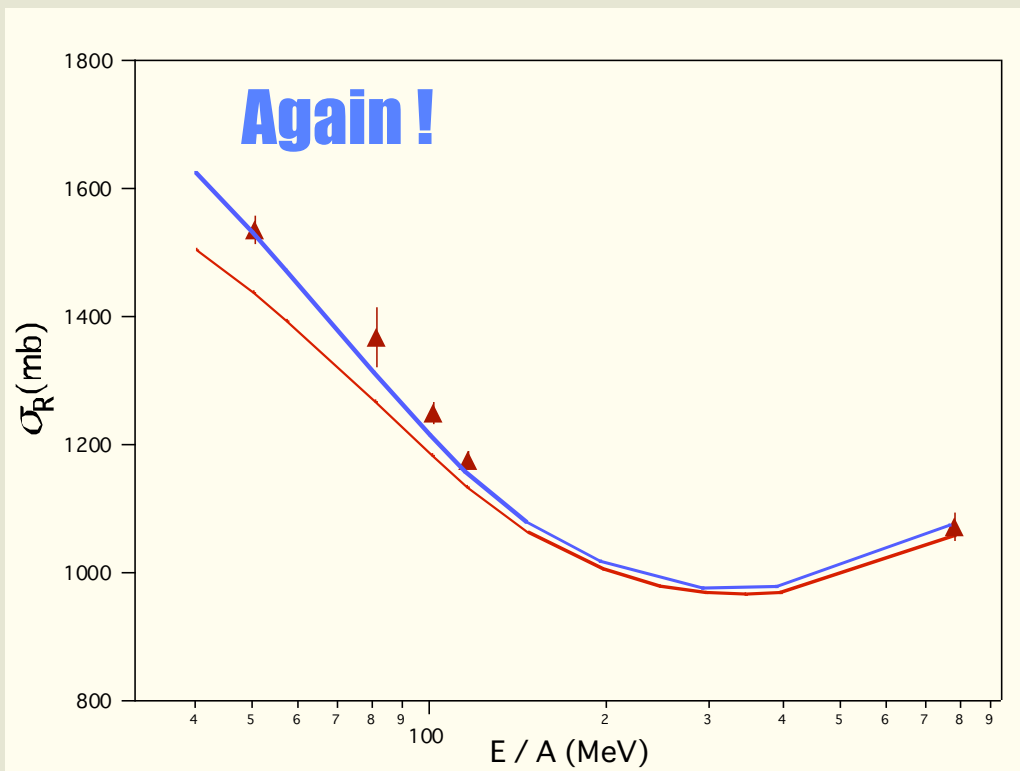
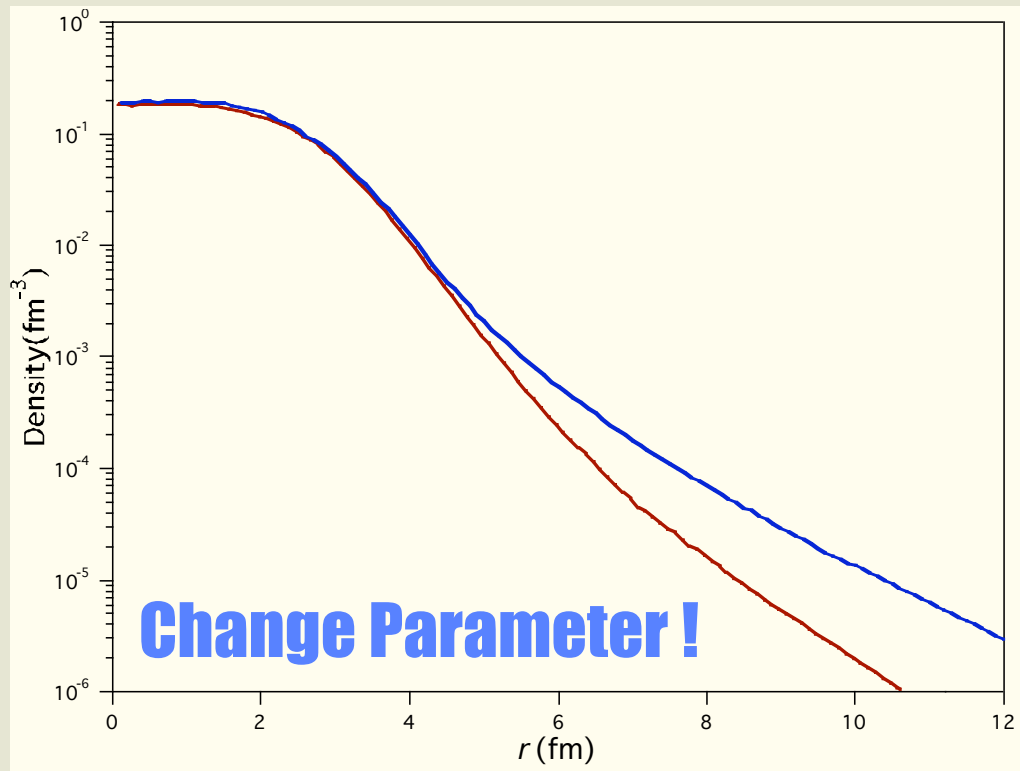
# 不安定核 $\sigma_R$ との比較

$\rho$  が比較的よくわかっている  $^{11}\text{Be}$ ,  $^8\text{B}$



# How to Deduce Nucleon Density

~  $\chi^2$  fitting procedure ~



$\rho(r)$   
 $\rho(r)$  : Model Density

*Glauber  
 Calculation*

$\sigma_R(\text{Calc.})$

*Compare*

$\sigma_R(\text{Expt.})$

*Model Density*

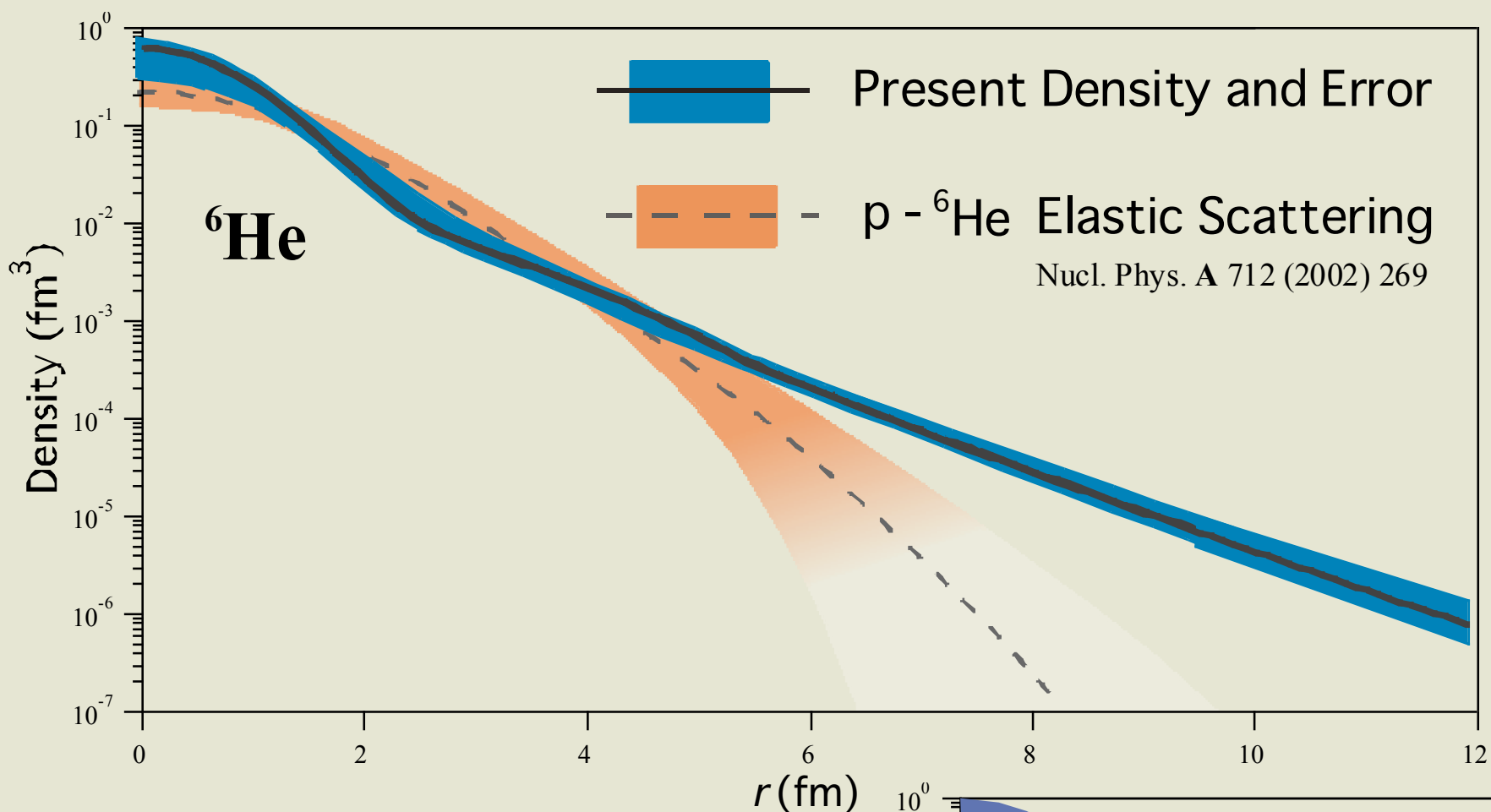
${}^6\text{He} : {}^4\text{He} + 2n$  Model

${}^8\text{He} : {}^4\text{He} + 4n$  Model

Core : Gaussian  
 Valence : Gaussian  
 + Yukawa

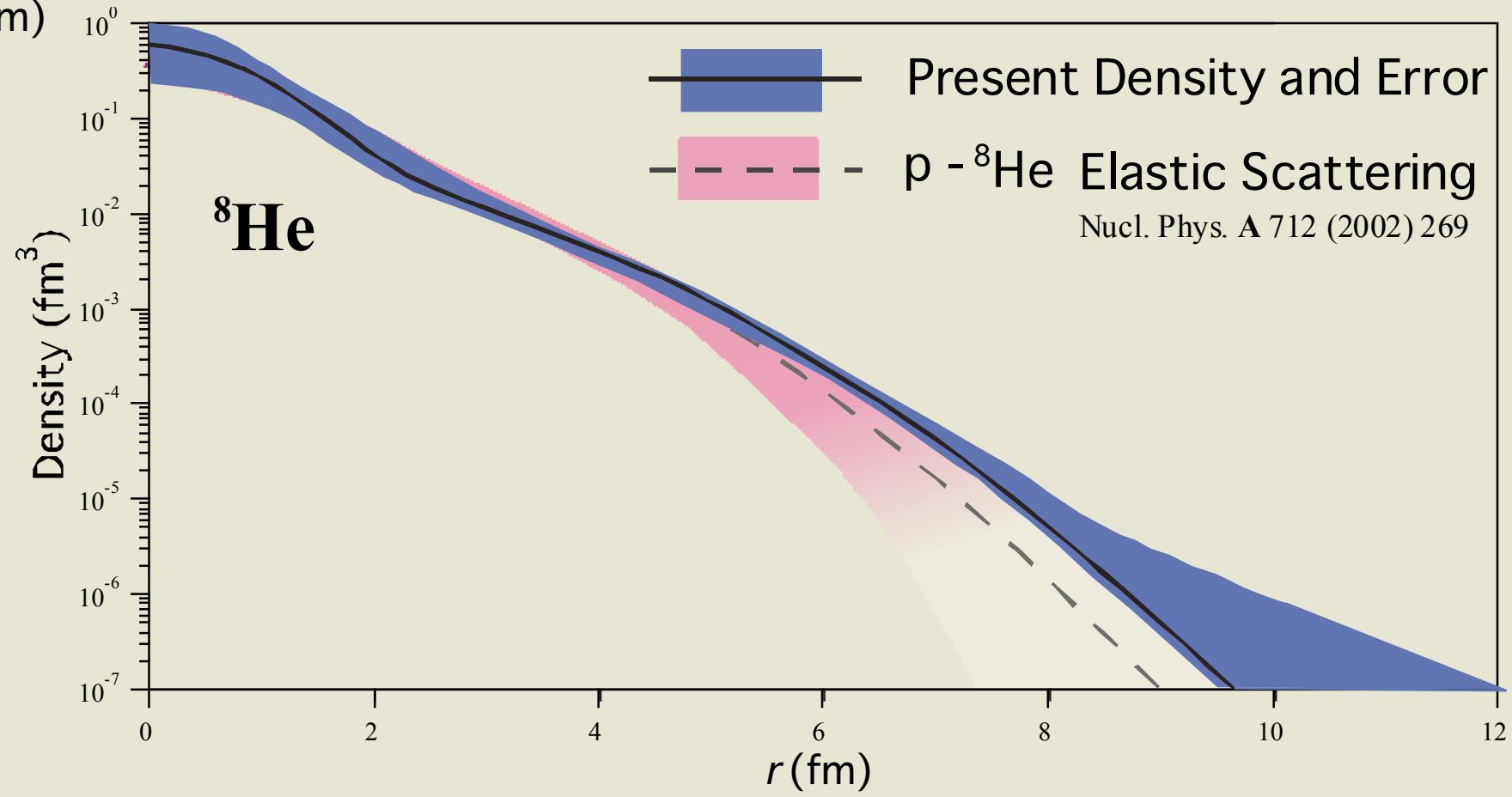


# Density Distributions



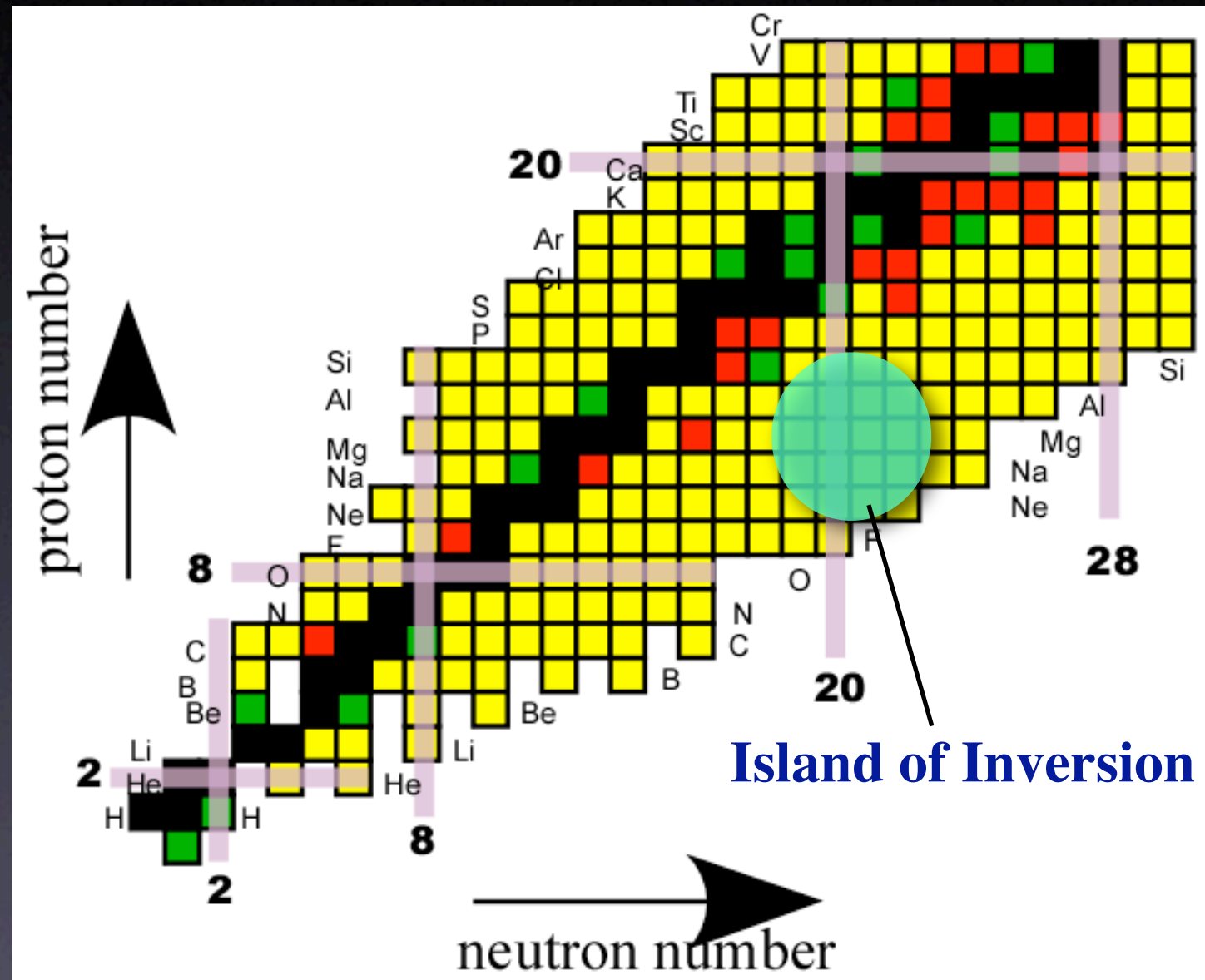
Halo Tail

Skin-Type Density



# Z = 10–14 region

- **Island of Inversion**

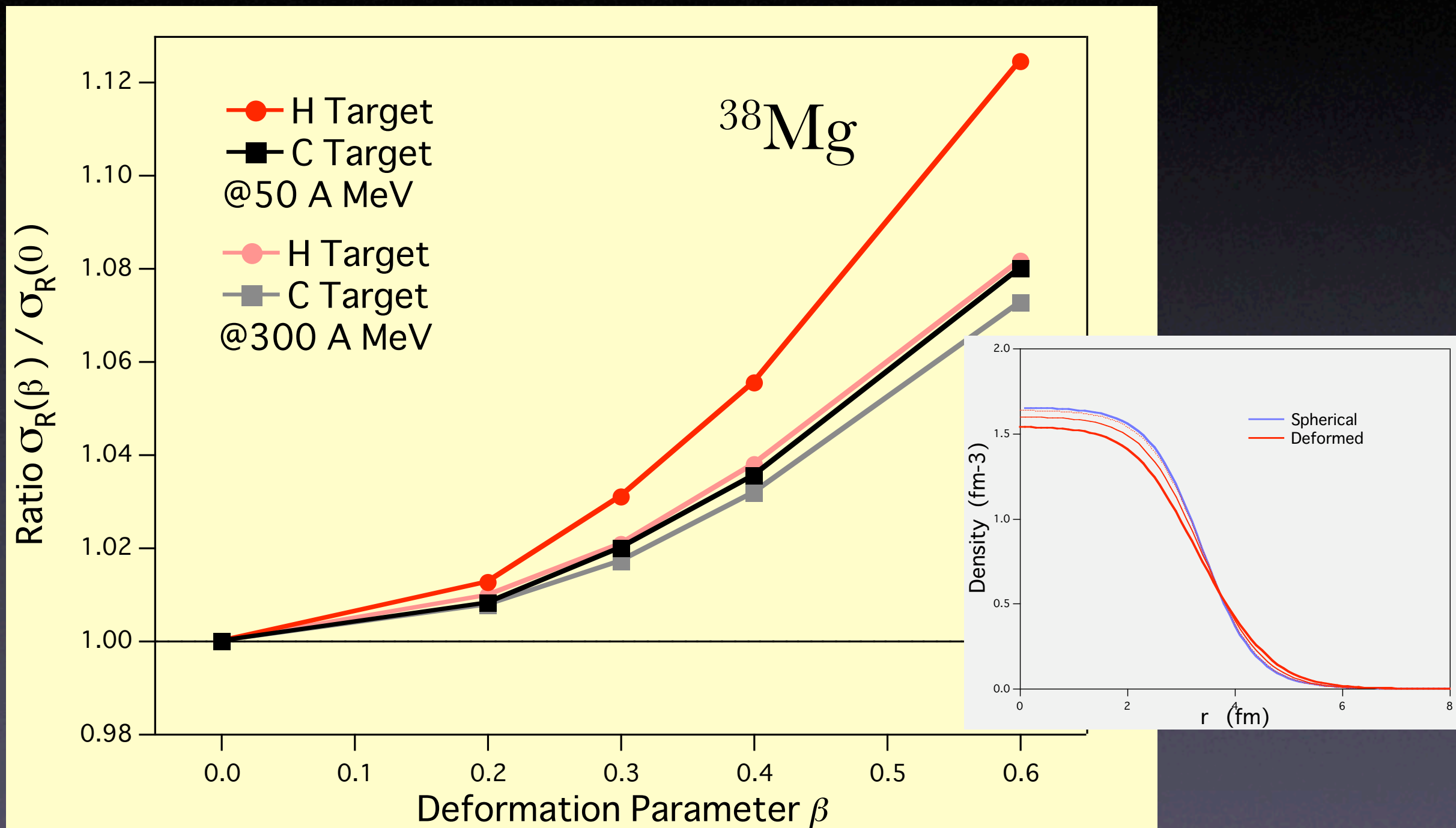


$$\beta_2 \sim 0.4 - 0.7$$



γ-ray spectroscopy  
Coulomb excitation

# deformation $\Leftrightarrow \sigma_R$



optical-limit Glauber calculation



# まとめ

- 中間エネルギーで反応断面積と核子密度分布を関係づけることに成功
- → 軽核の核子密度分布を求められる
- 変形やハローの探索 (Island of Inversion)
- 核整列と反応断面積
- 中性子スキン → EOS, 宇宙物理

# Main Collaborators

Niigata Univ. : T. Ohtsubo, T. Izumikawa

Osaka Univ. : M. Fukuda, M. Takechi, M. Mihara, K. Matsuta

Saitama Univ. : T. Suzuki, T. Yamaguchi, S. Nakajima

Tsukuba Univ. : A. Ozawa

RIKEN : K. Tanaka, T. Ohnishi, T. Suda